

黔产大青木化学成分及其抗菌活性研究

霍晓敏^{1,2}, 李丽君¹, 冉坚强¹, 薛站^{1,2}, 刘丽娜³, 谭承建^{1*}

(1. 贵州民族大学 民族医药学院, 贵阳 550025; 2. 贵州民族大学 化学工程学院, 贵阳 550025; 3. 贵州医科大学 生物与工程学院, 贵阳 550025)

摘要: 大青木 (*Clerodendrum cyrtophyllum*) 是苗族地区常用的药用植物, 为研究黔产大青木的化学成分及其抗菌活性, 该文采用大孔吸附树脂、反相柱色谱、硅胶柱色谱、Sephadex LH-20 柱色谱、半制备高效液相色谱等方法对大青木 95%乙醇提取物进行分离和纯化, 并根据波谱数据鉴定所得化合物结构, 采用 MTT 法评价其抗菌活性。结果表明从大青木中分离得到 18 个化合物, 分别鉴定为木栓酮 (1)、 α -amyrin palmitate (2)、Sambuculin A (3)、22-dehydroclerosterol (4)、Isopetasin (5)、Taraxasteryl palmitate (6)、豆甾醇 (7)、22-dehydroclerosterol-3-O- β -D-(6'-O-margaroyl)-glucopyranoside (8)、3-O- β -D-galactopyranosyl-(24 β)-ethylcholesta-5,22,25-trien (9)、肉苁蓉苷 D (10)、Tortoside F (11)、Balanophonin (12)、木犀草苷 (13)、类叶升麻苷 (14)、木犀草素 (15)、Acantrifoside E (16)、Trichotomside B (17)、肉苁蓉苷 C (18), 其中化合物 2-3, 5-6, 8-13, 16-18 为首次从大青木中分离得到。活性测试结果表明化合物 13 对乳房链球菌有一定的抑制作用。该研究丰富了大青木化学成分, 为在抗奶牛乳房炎药物的研发提供了参考。

关键字: 大青木, 化学成分, 分离, 鉴定, 抗菌活性

中图分类号: Q946

文献标识码: A

文章编号:

Chemical constituents and antibacterial activities

from *Clerodendrum cyrtophyllum*

HUO Xiaomin^{1,2}, LI Lijun¹, RAN Jianqiang¹, XUE Zhan^{1,2}, LIU Lina³, TAN Chengjian^{1*}

(1. College of Ethnic Medicine, Guizhou Minzu University, Guiyang 550025, China; 2. College of Chemical Engineering, Guizhou Minzu University, Guiyang 550025, China; 3. School of Biology Engineering, Guizhou Medical University, Guiyang 550025, China)

Abstract: *Clerodendrum cyrtophyllum* is a common medicinal plant used by Miao people. In order to study the chemical constituents and antibacterial activities of *Clerodendrum cyrtophyllum* in Guizhou, China. Macroporous adsorption resin, reversed phase column chromatography, silica gel column chromatography, Sephadex LH-20 gel column, and high performance liquid chromatography were used to separate and purify 95% ethanol extracts from *Clerodendrum Cyrtophyllum*. The antibacterial activity was evaluated by MTT method. The results showed eighteen compounds were isolated and identified as Friedelin (1), α -amyrin palmitate (2), Sambuculin A (3), 22-dehydroclerosterol (4), Isopetasin (5), Taraxasteryl palmitate (6), Stigmasterol (7), 22-dehydroclerosterol-3-O- β -D-(6'-O-margaroyl)-glucopyranoside (8), 3-O- β -D-galactopyranosyl-(24 β)-ethylcholesta-5,22,25-trien (9), Cistanoside D (10), Tortoside F

基金项目: 国家自然科学基金项目 (31360084, 31660103, 32160110); 贵州省科技计划项目 (黔科合支撑 [2019]2414) [Supported by National Natural Science Foundation of China (31360084, 31660103, 32160110); Guizhou Province Science and Technology Plan Project (QKH-[2019]2414)].

第一作者: 霍晓敏 (1996-), 硕士研究生, 从事天然产物提取与分离, (E-mail) 164451640@qq.com。

***通信作者:** 谭承建, 博士, 教授, 从事天然药物化学研究, (E-mail) tcj1229@163.com。

(11), Balanophonin (12), Luteoloside (13), Acteoside (14), Luteolin (15), Acantrifoside E (16), Trichotomside B (17), Cistanoside C (18). Among of them, Compounds 2-3, 5-6, 8-13, 16-18 are isolated from *Clerodendrum cyrtophyllum* for the first time. Besides, biological activity test showed compound 13 showed antibacterial activity against *Streptococcus uberis*. The study enriches the chemical composition of *Clerodendrum cyrtophyllum*, and provides reference for the development of anti dairy cow mastitis drugs.

Key words: *Clerodendrum cyrtophyllum*, chemical constituents, isolation, identification, antibacterial activities

奶牛乳房炎是我国奶牛养殖业的常见疾病，主要是由金黄色葡萄球菌、链球菌、无乳链球菌等引起的炎症（王丽芳等，2020）。目前，奶牛乳房炎的防治主要依靠抗生素，但抗生素的长期滥用会引起耐药菌的产生，威胁公共卫生安全（徐鸿润等，2021）。临床上，中草药被广泛用于细菌感染、炎症消除等疾病的防治，因其毒副作用较小，且不易产生耐药性（张晓东等，2021），为抗奶牛乳房炎药物的研究提供了新思路。研究表明中草药的天然有效成分可以直接抑制致病菌的生长繁殖，减弱其致病性，雪白睡莲花、蒲公英、连翘、金银花等提取物均对奶牛乳房炎的致病菌如金黄色葡萄球菌、大肠杆菌有明显的抑制作用（钟华晨等，2020；刘丹丹等，2021）；中草药中皂苷类、黄酮类等天然活性成分可以通过影响炎症因子的分泌，增强免疫能力，抵御致病菌的入侵进而降低奶牛乳房炎的发病率（候昆等，2019）。

大青木（*Clerodendrum cyrtophyllum*）又称大青、路边青、山大青，为马鞭草科大青属植物，主要分布于我国华东、中南、西南（四川除外）各省区（裴鉴等，1982）。《本草纲目》中记载大青味苦性寒，有清热解毒的功效。在贵州省黔东南苗族地区，大青木是一味常用的民族药物，苗医用大青木的水煎液内服来治疗小儿感冒发烧，疱疹病毒感染如口疮、带状疱疹等疾病（陆科闵等，2006）。大青木提取物已经报道了具有一定的抗菌活性（白云霄等，2013），但其中的活性成分未被阐明。因此，为深入探究大青木中抗菌活性成分，拟为大青木抗奶牛乳房炎药物的研发提供基础研究数据。本研究以黔产大青木为研究对象，依托民族医药研究平台，采用现代色谱分离手段、现代波谱学技术和现代药理学方法，拟探讨以下问题：（1）黔产大青木乙醇提取物的化学成分；（2）分离得到的部分化合物的抗菌活性。

1 材料与方法

1.1 材料、仪器与试剂

1.1.1 材料

大青木药材采自于贵州省贵定县云雾镇，经贵阳中医学院孙庆文教授鉴定为马鞭草科大青属植物大青木（*Clerodendrum cyrtophyllum*）。凭证标本（GZQSY2015D45）存放于贵州民族大学天然药物化学实验室。乳房链球菌（*Streptococcus uberis*）、无乳链球菌（*Streptococcus agalactiae*）由广东省农业科学院提供。

1.1.2 仪器与试剂

Avance NEO 400 型核磁共振波谱仪（德国 Bruker 公司）；Xevo G2-S QToF 型质谱仪（美国 Waters 公司）；UltiMate 3000 型高效液相色谱仪（赛默飞世尔科技有限公司）；XBridge BEH C₁₈ 半制备型色谱柱（10 mm×250 mm, 5 μm, 美国 Waters 公司）；Rotavapor R-3 型数显旋转蒸发器（瑞士步琦有限公司）；LiChroperp RP-18（40-63 μm, 德国 Merck 公司）；Sephedex LH-20（瑞典 Pharmacia 公司）；柱色谱硅胶（青岛海洋化工厂公司产品）；ZF-6 型三用紫外分析仪（上海嘉鹏科技有限公司）；HZT-A1000 型电子天平（福州闽衡电子仪器有限公司）；DB-1 型电热板（常州国华电器有限公司）；全波长酶标仪（芬兰 Thermo 公司）；全自动酶标仪（美国 BioTek 公司）；MTT 噻唑蓝（北京 Solarbio 生物科技有限

公司)；PBS 磷酸缓冲液(北京 Solarbio 生物科技有限公司)；SDS 十二烷基硫酸钠(分析纯，美国 Sigma 公司)；甲醇、二氯甲烷、石油醚、乙酸乙酯、正丁醇等分析纯试剂(成都科隆化学品有限公司)；甲醇、乙腈等色谱纯试剂(上海星可高纯溶剂有限公司)；显色剂为 5%硫酸乙醇溶液。

1.2 研究方法

1.2.1 提取与分离

将 25 kg 干燥的大青木(地上部分)粉碎，用 95%乙醇热回流提取 3 次，每次 2 h，提取液合并，经减压浓缩后得到粗浸膏 1 136 g。粗浸膏用水混悬，得到悬浮液，然后依次用等体积的石油醚、二氯甲烷、正丁醇进行萃取，之后分别对其进行减压浓缩得到石油醚部位 172 g，二氯甲烷部位 41 g，正丁醇部位 429 g，水部位 373 g。

取石油醚部位 103 g，经硅胶柱(石油醚：乙酸乙酯=200：1、100：1、50：1、20：1、5：1、1：1)梯度洗脱，得到 13 个不同馏分，石油醚：乙酸乙酯=200：1 洗脱得到馏分 Fr.a，石油醚：乙酸乙酯=100：1 洗脱馏分 Fr.b1-2，石油醚：乙酸乙酯=50：1 洗脱馏分 Fr.c1-2，石油醚：乙酸乙酯=20：1 洗脱馏分 Fr.d1-3，石油醚：乙酸乙酯=5：1 洗脱馏分 Fr.e1-3，石油醚：乙酸乙酯=1：1 洗脱馏分 Fr.f1-2。Fr.b1 经反复重结晶得到化合物 **1** (589.5 mg)；Fr.b2 经硅胶柱(石油醚：乙酸乙酯=50：1)，Sephadex LH-20 柱(二氯甲烷：甲醇=1：1)得到化合物 **2** (8.4 mg)，化合物 **3** (10.2 mg)。Fr.d1 经反复重结晶得到化合物 **4** (114.2 mg)；Fr.d2 经硅胶柱(石油醚：乙酸乙酯=30：1)，Sephadex LH-20 柱(二氯甲烷：甲醇=1：1)得到化合物 **5** (7.2 mg)；Fr.d3 经硅胶柱(石油醚：乙酸乙酯=20：1)得到化合物 **6** (9.1 mg)。Fr.e2 经硅胶柱(石油醚：乙酸乙酯=10：1)得到化合物 **7** (9.8 mg)。Fr.f1 经硅胶柱(二氯甲烷：甲醇=30：1)，两次 Sephadex LH-20 柱(二氯甲烷：甲醇=1：1)得到化合物 **8** (18.3 mg)；Fr.f2 经硅胶柱(二氯甲烷：甲醇=30：1)得到化合物 **9** (52.1 mg)。

取正丁醇部位 397 g，经大孔树脂 D101 柱以乙醇(30%、50%、70%、90%、100%)梯度洗脱，得到 11 个不同馏分，30%乙醇洗脱馏分 Fr.A；50%乙醇洗脱馏分 Fr.B1-3；70%乙醇洗脱馏分 Fr.C1-4；90%乙醇洗脱馏分 Fr.D1-2；100%乙醇洗脱馏分 Fr.E。Fr.B2 经反相 RP-18 柱分离，甲醇-水(35%~100%)梯度洗脱，得到 Fr.B2-1~Fr.B2-4。取 Fr.B2-3 经两次 Sephadex LH-20 柱(甲醇)得到化合物 **11** (11.7 mg)、半制备高效液相色谱(C₁₈ 柱，水：乙腈=78：22)分离，得到化合物 **10** (19.2 mg)。取 Fr.B3 经反相 RP-18 柱分离，甲醇-水(35%~100%)梯度洗脱，得到 Fr.B3-1~3-3，取 Fr.B3-2 经 Sephadex LH-20 柱(甲醇)分离，硅胶(二氯甲烷：甲醇=30：1~1：1)梯度洗脱得到化合物 **12** (27.4 mg)。Fr.C1 经反相 RP-18 柱分离，甲醇-水(30%~100%)梯度洗脱，得到 Fr.C1-1~1-5。取 Fr.C1-2 经 Sephadex LH-20 柱(甲醇)分离，经半制备高效液相色谱(乙腈：0.1%磷酸水溶液=18：82)纯化后得到化合物 **13** (21.1 mg)，化合物 **14** (15.3 mg)。Fr.C2 经反相 RP-18 柱分离，甲醇-水(30%~100%)洗脱后，得到 Fr.C2-1~2-4。取 Fr.C2-1 经两次 Sephadex LH-20 柱(二氯甲烷：甲醇=1：1)、硅胶柱(二氯甲烷：甲醇=20：1)得到化合物 **15** (37.4 mg)；取 Fr.C2-2 经 Sephadex LH-20 柱(二氯甲烷：甲醇=1：1)，硅胶柱(二氯甲烷：甲醇=12：1)，反复重结晶得到化合物 **16** (29.5 mg)；取 Fr.C2-3 经两次 Sephadex LH-20 柱(二氯甲烷：甲醇=1：1)、半制备高效液相色谱(水：甲醇=56：44)得到化合物 **17** (7.7 mg)。Fr.C3 经反相 RP-18 柱分离，甲醇-水(35%~100%)洗脱后，得到 Fr.C3-1~3-4。取 Fr.C3-3 经 Sephadex LH-20 柱(甲醇)、硅胶柱(二氯甲烷：甲醇=20：1)得到化合物 **18** (53.2 mg)。

1.2.2 抗菌活性试验

抗菌活性测定参考课题组前期建立的一种定量检测细菌活菌数的 MTT 方法(马林玉等，2019)，取适量乳房链球菌、无乳链球菌分别接种于肉汤培养基，于 37 °C 培养 12 h，分别将菌液稀释至 10⁶ CFU·mL⁻¹，备用。取 96 孔培养板，每孔加入菌液 90 μL，将 96 孔板划分

DMSO 阴性对照组、氨苄青霉素阳性对照组和 8 个浓度的给药组，每组设置 3 个复孔，取 10 μL 样品溶液加入给药组各孔。于 37 $^{\circ}\text{C}$ 暗培养 24 h（无乳链球菌无氧环境）。每孔加入 45 μL 0.5 $\text{mg}\cdot\text{mL}^{-1}$ MTT 溶液。空白调零组加入与 MTT 等量的 PBS，继续避光培养 4 h。显色的菌液离心（12000 rpm，4 $^{\circ}\text{C}$ ，10 min），弃掉上清液，加入 125 μL DMSO。向已完全溶解的产物中加入 150 μL 的 SDS，取 200 μL 混合溶液转移至 96 孔板中，用全自动酶标仪测定 OD₅₇₀。

2 结果与分析

2.1 结构鉴定

化合物 **1**：无色针状结晶， $\text{C}_{30}\text{H}_{50}\text{O}$ ，ESI-MS m/z : 449.4 $[\text{M}+\text{Na}]^{+}$ 。 ^1H -NMR（400 MHz， CDCl_3 ） δ : 1.18（3H，s，H-28），1.05（3H，s，H-27），1.01（3H，s，H-30），1.00（3H，s，H-26），0.95（3H，s，H-29），0.88（3H，d， $J=6.5$ Hz，H-23），0.87（3H，s，H-25），0.72（3H，s，H-24）； ^{13}C -NMR（100 MHz， CDCl_3 ） δ : 22.41（C-1），41.65（C-2），213.36（C-3），58.34（C-4），42.27（C-5），41.41（C-6），18.37（C-7），53.22（C-8），37.57（C-9），59.60（C-10），35.47（C-11），30.12（C-12），39.38（C-13），38.42（C-14），32.55（C-15），36.14（C-16），30.63（C-17），42.91（C-18），35.75（C-19），28.30（C-20），32.90（C-21），39.82（C-22），6.96（C-23），14.79（C-24），18.08（C-25），18.80（C-26），20.39（C-27），32.22（C-28），35.16（C-29），31.92（C-30）。以上数据与文献（Toshihiro et al., 1992）一致，故鉴定化合物 **1** 为木栓酮。

化合物 **2**：白色油状物， $\text{C}_{46}\text{H}_{80}\text{O}_2$ ，ESI-MS m/z : 687.4 $[\text{M}+\text{Na}]^{+}$ 。 ^1H -NMR（400 MHz， CDCl_3 ） δ : 5.12（1H，t， $J=3.6$ Hz，H-12），4.51（1H，m，H-3），2.29（1H，m，H-2'），1.07（3H，s，H-27），1.01（3H，s，H-25），0.98（3H，s，H-26），0.92（3H，d， $J=7.2$ Hz，H-30），0.91（3H，s，H-23），0.89（3H，s，H-24），0.89（3H，d， $J=6.7$ Hz，H-29），0.80（3H，s，H-28）； ^{13}C -NMR（100 MHz， CDCl_3 ） δ : 38.59（C-1），23.79（C-2），80.75（C-3），37.90（C-4），55.41（C-5），18.40（C-6），33.02（C-7），40.18（C-8），47.78（C-9），36.95（C-10），23.52（C-11），124.48（C-12），139.78（C-13），42.22（C-14），28.81（C-15），26.76（C-16），33.90（C-17），59.21（C-18），39.76（C-19），39.80（C-20），31.40（C-21），41.69（C-22），28.24（C-23），17.01（C-24），15.88（C-25），16.97（C-26），23.39（C-27），28.24（C-28），17.66（C-29），21.55（C-30）；173.88（C-1'），35.02（C-2'），34.58-22.85（C-3'-15'），14.28（C-16'）。以上数据与文献（Fatma et al., 2016）一致，故鉴定化合物 **2** 为 α -amyrin palmitate。

化合物 **3**：无定形白色粉末， $\text{C}_{46}\text{H}_{80}\text{O}_2$ ，ESI-MS m/z : 687.6 $[\text{M}+\text{Na}]^{+}$ 。 ^1H -NMR（400 MHz， CDCl_3 ） δ : 4.69（1H，s，H-29），4.57（1H，s，H-29），4.47（1H，dd， $J=10.6$ ，5.7 Hz，H-3），2.30（2H，t， $J=7.5$ Hz，H-2'），1.68（3H，s，H-30），1.03（3H，s，H-27），0.94（3H，s，H-24），0.86（3H，s，H-23），0.79（3H，s，H-16'）； ^{13}C -NMR（100 MHz， CDCl_3 ） δ : 37.98（C-1），23.89（C-2），80.78（C-3），38.51（C-4），55.52（C-5），18.14（C-6），34.35（C-7），40.99（C-8），50.48（C-9），38.19（C-10），21.09（C-11），25.32（C-12），37.23（C-13），42.97（C-14），27.58（C-15），35.71（C-16），43.14（C-17），48.43（C-18），48.15（C-19），151.10（C-20），29.85（C-21），40.14（C-22），28.11（C-23），16.12（C-24），16.72（C-25），16.31（C-26），14.66（C-27），18.35（C-28），109.50（C-29），19.43（C-30）；173.89（C-1'），35.01（C-2'），25.24（C-3'），29.32-29.97（C-4'-13'），32.08（C-14'），22.84（C-15'），14.27（C-16'）。以上数据与文献（Lin et al., 1988）一致，故鉴定化合物 **3** 为 Sambuculin A。

化合物 **4**：无色针状结晶， $\text{C}_{29}\text{H}_{46}\text{O}$ ，ESI-MS m/z : 433.3 $[\text{M}+\text{Na}]^{+}$ 。 ^1H -NMR（400 MHz，

CDCl₃) δ : 5.35 (1H, d, J =3.5 Hz, H-6), 5.24 (1H, dd, J =15.3, 7.9 Hz, H-22), 5.21 (1H, dd, J =12.7, 7.5 Hz, H-23), 4.69 (2H, m, H-27), 3.93 (1H, m, H-3), 1.25 (3H, s, H-19), 1.65 (3H, s, H-26), 1.02 (3H, d, J =4.7 Hz, H-21), 0.83 (3H, t, J =7.6 Hz, H-29), 0.69 (3H, s, H-18); ¹³C-NMR (100 MHz, CDCl₃) δ : 37.33 (C-1), 31.72 (C-2), 71.92 (C-3), 42.34 (C-4), 140.82 (C-5), 121.80 (C-6), 31.98 (C-7), 32.02 (C-8), 50.23 (C-9), 36.60 (C-10), 21.15 (C-11), 39.76 (C-12), 42.35 (C-13), 56.93 (C-14), 24.40 (C-15), 29.79 (C-16), 55.96 (C-17), 12.14 (C-18), 19.48 (C-19), 40.28 (C-20), 20.88 (C-21), 137.29 (C-22), 130.12 (C-23), 52.08 (C-24), 148.71 (C-25), 20.31 (C-26), 109.60 (C-27), 25.79 (C-28), 12.23 (C-29)。以上数据与文献 (Kitajima et al., 1993) 一致, 故鉴定化合物 **4** 为 22-dehydroclerosterol。

化合物 **5**: 无色油状物, C₂₀H₂₈O₃, ESI-MS m/z : 339.2 [M+Na]⁺。¹H-NMR (400 MHz, CD₃OD) δ : 6.12 (1H, m, H-3'), 5.76 (1H, s, H-9), 2.38-2.44 (2H, m, H-2), 2.07 (3H, s, H-13), 1.98 (3H, d, J =1.5 Hz, H-5'), 1.89 (3H, s, H-4'), 1.87 (3H, s, H-12), 1.04 (3H, s, H-14), 1.02 (3H, d, J =6.8 Hz, H-15); ¹³C-NMR (100 MHz, CD₃OD) δ : 31.46 (C-1), 29.70 (C-2), 73.27 (C-3), 46.28 (C-4), 42.23 (C-5), 40.77 (C-6), 127.79 (C-7), 192.36 (C-8), 125.67 (C-9), 167.43 (C-10), 144.29 (C-11), 20.96 (C-12), 21.46 (C-13), 16.16 (C-14), 9.80 (C-15); 167.58 (C-1'), 126.93 (C-2'), 137.56 (C-3'), 14.57 (C-4'), 19.36 (C-5')。以上数据与文献 (Wang et al., 2014) 一致, 故鉴定化合物 **5** 为 Isopetasin。

化合物 **6**: 无色针状结晶, C₄₆H₈₀O₂, ESI-MS m/z : 703.6 [M+K]⁺。¹H-NMR (400 MHz, CDCl₃) δ : 4.64 (2H, d, J =7.1 Hz, H-30), 4.48 (1H, dd, J =10.7, 5.6 Hz, H-3), 1.04 (3H, s, H-27), 1.03 (3H, s, H-26), 1.00 (3H, s, H-25), 0.99 (3H, s, H-28), 0.90 (3H, s, H-23), 0.88 (3H, s, H-24), 0.87 (3H, d, J =6.0 Hz, H-29), 0.84 (3H, s, H-16'); ¹³C-NMR (100 MHz, CDCl₃) δ : 38.44 (C-1), 23.71 (C-2), 80.55 (C-3), 37.85 (C-4), 55.47 (C-5), 18.17 (C-6), 33.98 (C-7), 40.95 (C-8), 49.94 (C-9), 37.02 (C-10), 21.40 (C-11), 25.18 (C-12), 38.75 (C-13), 42.33 (C-14), 25.87 (C-15), 40.01 (C-16), 35.28 (C-17), 47.65 (C-18), 38.54 (C-19), 153.66 (C-20), 25.04 (C-21), 39.02 (C-22), 27.97 (C-23), 16.57 (C-24), 15.89 (C-25), 16.36 (C-26), 14.14 (C-27), 26.30 (C-28), 19.25 (C-29), 107.40 (C-30); 173.75 (C-1'), 34.05 (C-2'), 25.18 (C-3'), 29.69 (C-4'-C-13'), 31.94 (C-14'), 22.71 (C-15'), 18.10 (C-16')。以上数据与文献 (Amarendra et al., 1981) 一致, 故鉴定化合物 **6** 为 Taraxasteryl palmitate。

化合物 **7**: 白色针状结晶, C₂₉H₄₈O, ESI-MS m/z : 451.4 [M+K]⁺。¹H-NMR (400 MHz, CDCl₃) δ : 5.35 (1H, d, J =5.1 Hz, H-6), 5.15 (1H, dd, J =15.2, 8.6 Hz, H-22), 5.02 (1H, dd, J =15.2, 8.6 Hz, H-23), 3.53 (1H, m, H-3), 1.01 (3H, s, H-19), 0.92 (3H, d, J =6.5 Hz, H-21), 0.85 (3H, d, J =3.5 Hz, H-27), 0.83 (3H, d, J =1.7 Hz, H-26), 0.81 (3H, d, J =4.5 Hz, H-29), 0.68 (3H, s, H-18); ¹³C-NMR (100 MHz, CDCl₃) δ : 37.39 (C-1), 29.29 (C-2), 71.96 (C-3), 42.46 (C-4), 140.89 (C-5), 121.87 (C-6), 32.04 (C-7), 32.04 (C-8), 50.27 (C-9), 36.65 (C-10), 21.23 (C-11), 39.82 (C-12), 42.42 (C-13), 56.91 (C-14), 24.45 (C-15), 29.07 (C-16), 56.19 (C-17), 12.00 (C-18), 19.54 (C-19), 40.64 (C-20), 21.23 (C-21), 138.46 (C-22), 129.41 (C-23), 51.38 (C-24), 31.78 (C-25), 21.36 (C-26), 19.17 (C-27), 25.55 (C-28), 12.12 (C-29)。以上数据与文献 (贾瑞芳等, 2021) 一致, 故鉴定化合物 **7** 为豆甾醇。

化合物 **8**: 无色油状物, C₅₂H₈₈O₇, ESI-MS m/z : 847.6 [M+Na]⁺。¹H-NMR (400 MHz, CDCl₃) δ : 5.35 (1H, d, J =3.3 Hz, H-6), 5.23 (1H, dd, J =15.2, 7.8 Hz, H-22),

5.17 (1H, dd, $J=15.2, 7.1$ Hz, H-23), 4.70 (2H, m, H-27), 4.37 (1H, d, $J=7.6$ Hz, H-1'), 1.99 (3H, s, H-26), 1.02 (3H, s, H-19), 1.01 (3H, d, $J=6.6$ Hz, H-21), 0.99 (3H, s, H-18), 0.81 (3H, s, H-29), 0.69 (3H, s, H-17''); $^{13}\text{C-NMR}$ (100 MHz, CDCl_3) δ : 37.30 (C-1), 31.95 (C-2), 79.72 (C-3), 39.70 (C-4), 140.36 (C-5), 122.06 (C-6), 34.29 (C-7), 31.88 (C-8), 50.19 (C-9), 36.72 (C-10), 21.08 (C-11), 38.93 (C-12), 42.27 (C-13), 56.87 (C-14), 25.00 (C-15), 28.72 (C-16), 55.92 (C-17), 12.06 (C-18), 19.38 (C-19), 40.23 (C-20), 20.85 (C-21), 137.16 (C-22), 130.12 (C-23), 52.01 (C-24), 148.55 (C-25), 20.22 (C-26), 109.55 (C-27), 25.71 (C-28), 12.14 (C-29); 101.26 (C-1'), 76.18 (C-2'), 73.77 (C-3'), 73.42 (C-4'), 70.38 (C-5'), 63.57 (C-6'); 174.33 (C-1''), 34.29 (C-2''), 31.88 (C-3''), 29.70 (C-4''-C-14''), 24.33 (C-15''), 22.71 (C-16''), 14.13 (C-17''). 以上数据与文献 (Xu et al., 2013) 一致, 故鉴定化合物 **8** 为 22-dehydroclerosterol-3-O- β -D-(6'-O-margaroyl)-glucopyranoside。

化合物 **9**: 白色无定形粉末, $\text{C}_{35}\text{H}_{56}\text{O}_6$, ESI-MS m/z : 595.4 $[\text{M}+\text{Na}]^+$ 。 $^1\text{H-NMR}$ (400 MHz, DMSO) δ : 5.33 (1H, s, H-6), 5.22 (1H, dd, $J=12.6, 4.8$ Hz, H-22), 5.19 (1H, dd, $J=12.2, 5.1$ Hz, H-23), 4.68 (2H, s, H-27), 4.22 (1H, d, $J=7.8$ Hz, H-1'), 1.61 (3H, s, H-26), 0.98 (3H, d, $J=6.7$ Hz, H-21), 0.96 (3H, s, H-19), 0.79 (3H, t, $J=7.3$ Hz, H-29), 0.67 (3H, s, H-18); $^{13}\text{C-NMR}$ (100 MHz, DMSO) δ : 36.85 (C-1), 31.43 (C-2), 76.95 (C-3), 38.34 (C-4), 140.48 (C-5), 121.21 (C-6), 29.29 (C-7), 31.43 (C-8), 49.65 (C-9), 36.25 (C-10), 21.49 (C-11), 38.34 (C-12), 41.80 (C-13), 56.26 (C-14), 23.88 (C-15), 28.31 (C-16), 55.30 (C-17), 11.88 (C-18), 19.12 (C-19), 40.44 (C-20), 19.94 (C-21), 136.84 (C-22), 129.59 (C-23), 51.31 (C-24), 147.70 (C-25), 20.71 (C-26), 109.98 (C-27), 25.23 (C-28), 12.02 (C-29); 100.81 (C-1'), 73.49 (C-2'), 76.78 (C-3'), 70.11 (C-4'), 76.95 (C-5'), 61.11 (C-6')。 以上数据与文献 (Saeedan et al., 1997) 一致, 故鉴定化合物 **9** 为 3-O- β -D-galactopyranosyl-(24 β)-ethylcholesta-5,22,25-trien。

化合物 **10**: 淡黄色粉末, $\text{C}_{31}\text{H}_{40}\text{O}_{15}$, ESI-MS m/z : 675.3 $[\text{M}+\text{Na}]^+$ 。 $^1\text{H-NMR}$ (400 MHz, DMSO) δ : 7.56 (1H, d, $J=15.8$ Hz, H-7'), 7.29 (1H, d, $J=1.7$ Hz, H-2'), 6.82 (1H, d, $J=8.0$ Hz, H-5'), 6.40 (1H, d, $J=15.8$ Hz, H-8'), 5.06 (1H, s, H-1'''), 4.38 (1H, d, $J=7.8$ Hz, H-1''), 3.82 (3H, s, 3-OCH₃), 3.79 (3H, s, 3'-OCH₃), 2.76 (2H, m, H-7), 1.12 (3H, d, $J=6.1$ Hz, H-6'''); $^{13}\text{C-NMR}$ (100 MHz, DMSO) δ : 132.80 (C-1), 112.70 (C-2), 147.90 (C-3), 147.42 (C-4), 117.34 (C-5), 121.25 (C-6), 36.68 (C-7), 72.22 (C-8), 56.41 (3-OCH₃); 127.05 (C-1'), 117.96 (C-2'), 151.54 (C-3'), 149.77 (C-4'), 115.56 (C-5'), 124.99 (C-6'), 147.80 (C-7'), 113.98 (C-8'), 167.65 (C-9'), 57.33 (3'-OCH₃); 104.03 (C-1''), 76.21 (C-2''), 80.95 (C-3''), 70.51 (C-4''), 76.24 (C-5''), 62.43 (C-6''); 102.97 (C-1'''), 72.07 (C-2'''), 71.87 (C-3'''), 73.37 (C-4'''), 70.83 (C-5'''), 19.79 (C-6''')。 以上数据与文献 (高映等, 2017) 一致, 故鉴定化合物 **10** 为肉苁蓉苷 D。

化合物 **11**: 淡黄色粉末, $\text{C}_{26}\text{H}_{30}\text{O}_{11}$, ESI-MS m/z : 541.2 $[\text{M}+\text{Na}]^+$ 。 $^1\text{H-NMR}$ (400 MHz, CD_3OD) δ : 9.57 (1H, d, $J=7.9$ Hz, H-9'), 7.61 (1H, d, $J=15.7$ Hz, H-7'), 7.00 (1H, d, $J=1.8$ Hz, H-2), 6.86 (1H, dd, $J=8.2, 1.9$ Hz, H-6), 6.78 (1H, d, $J=8.1$ Hz, H-5), 6.74 (1H, dd, $J=8.0, 16.0$ Hz, H-8'), 4.37 (1H, d, $J=7.8$ Hz, H-1''), 3.91 (3H, s, 3-OCH₃), 3.83 (3H, s, 3'-OCH₃); $^{13}\text{C-NMR}$ (100 MHz, CD_3OD) δ : 133.52 (C-1), 110.82 (C-2), 149.12 (C-3), 147.83 (C-4), 116.17 (C-5), 119.96 (C-6), 90.18 (C-7), 52.17 (C-8), 71.95 (C-9), 56.44 (3-OCH₃); 129.67 (C-1'),

114.39 (C-2'), 145.92 (C-3'), 152.75 (C-4'), 131.33 (C-5'), 120.29 (C-6'), 156.26 (C-7'), 127.14 (C-8'), 196.28 (C-9'), 56.76 (3'-OCH₃); 104.34 (C-1''), 75.14 (C-2''), 78.03 (C-3''), 71.56 (C-4''), 78.17 (C-5''), 62.69 (C-6''). 以上数据与文献(孟永海, 2007)一致, 故鉴定化合物 **11** 为 Tortoside F。

化合物 **12**: 淡黄色粉末, C₂₀H₂₀O₆, ESI-MS m/z : 379.1 [M+Na]⁺。¹H-NMR (400 MHz, CD₃OD) δ : 9.58 (1H, d, J =7.8 Hz, H-9'), 7.62 (1H, d, J =15.8 Hz, H-7'), 7.29 (1H, s, H-6'), 7.23 (1H, d, J =1.3 Hz, H-2'), 6.95 (1H, d, J =1.8 Hz, H-2), 6.83 (1H, dd, J =8.2, 1.8 Hz, H-6), 6.78 (1H, d, J =8.1 Hz, H-5), 6.69 (1H, dd, J =15.7, 7.8 Hz, H-8'), 5.61 (1H, d, J =6.4 Hz, H-7), 3.91 (3H, s, 3'-OCH₃), 3.82 (3H, s, 3-OCH₃); ¹³C-NMR (100 MHz, CD₃OD) δ : 133.91 (C-1), 110.55 (C-2), 149.19 (C-3), 147.83 (C-4), 131.25 (C-5), 119.99 (C-6), 90.10 (C-7), 54.65 (C-8), 64.54 (C-9), 56.78 (3-OCH₃); 129.62 (C-1'), 114.21 (C-2'), 146.02 (C-3'), 152.94 (C-4'), 130.85 (C-5'), 119.80 (C-6'), 156.16 (C-7'), 127.09 (C-8'), 196.19 (C-9'), 56.37 (3'-OCH₃)。以上数据与文献(Li et al., 2017)一致, 故鉴定化合物 **12** 为 Balanophonin。

化合物 **13**: 黄色粉末, C₂₁H₂₀O₁₁, ESI-MS m/z : 471.1 [M+Na]⁺。¹H-NMR (400 MHz, DMSO) δ : 12.99 (1H, s, 5-OH), 7.44 (1H, d, J =8.3, 2.2 Hz, H-6'), 7.42 (1H, d, J =2.1 Hz, H-2'), 6.90 (1H, d, J =8.3 Hz, H-5'), 6.78 (1H, d, J =2.1 Hz, H-8), 6.75 (1H, s, H-3), 6.44 (1H, d, J =2.1 Hz, H-6), 5.08 (1H, d, J =7.4 Hz, H-1''); ¹³C-NMR (100 MHz, DMSO) δ : 164.50 (C-2), 103.20 (C-3), 181.94 (C-4), 161.16 (C-5), 99.56 (C-6), 162.97 (C-7), 94.74 (C-8), 156.98 (C-9), 105.37 (C-10); 121.39 (C-1'), 113.60 (C-2'), 145.82 (C-3'), 149.98 (C-4'), 116.02 (C-5'), 119.21 (C-6'); 99.88 (C-1''), 73.15 (C-2''), 77.19 (C-3''), 69.56 (C-4''), 76.42 (C-5''), 60.63 (C-6'')。以上数据与文献(周志强, 2013)一致, 故鉴定化合物 **13** 为木犀草苷。

化合物 **14**: 黄色粉末, C₂₉H₃₆O₁₅, ESI-MS m/z : 647.2 [M+Na]⁺。¹H-NMR (400 MHz, CD₃OD) δ : 7.56 (1H, d, J =12.8 Hz, H-7'), 7.03 (1H, d, J =1.4 Hz, H-2'), 6.92 (1H, dd, J =8.0, 1.4 Hz, H-6'), 6.75 (1H, d, J =6.6 Hz, H-5'), 6.67 (1H, d, J =1.4 Hz, H-2), 6.65 (1H, d, J =6.4 Hz, H-5), 6.52 (1H, dd, J =1.4, 7.8 Hz, H-6), 6.25 (1H, d, J =12.7 Hz, H-8'), 5.16 (1H, s, H-1'''), 4.34 (1H, d, J =6.3 Hz, H-1''), 1.06 (3H, d, J =4.9 Hz, H-6'''); ¹³C-NMR (100 MHz, CD₃OD) δ : 131.39 (C-1), 117.07 (C-2), 145.94 (C-3), 144.49 (C-4), 114.55 (C-5), 121.26 (C-6), 36.41 (C-7), 70.33 (C-8); 127.53 (C-1'), 116.28 (C-2'), 146.66 (C-3'), 149.65 (C-4'), 116.48 (C-5'), 123.25 (C-6'), 148.01 (C-7'), 115.17 (C-8'), 168.31 (C-9'); 104.00 (C-1''), 76.04 (C-2''), 81.65 (C-3''), 71.91 (C-4''), 75.78 (C-5''), 62.19 (C-6''); 102.94 (C-1'''), 72.18 (C-2'''), 72.21 (C-3'''), 73.66 (C-4'''), 70.42 (C-5'''), 18.40 (C-6''')。以上数据与文献(高燕萍等, 2016)一致, 故鉴定化合物 **14** 为类叶升麻苷。

化合物 **15**: 黄色粉末, C₁₅H₁₀O₆, ESI-MS m/z : 309.0 [M+Na]⁺。¹H-NMR (400 MHz, CD₃OD) δ : 12.96 (1H, s, 5-OH), 10.81 (1H, s, 7-OH), 9.91 (1H, s, 3'-OH), 9.39 (1H, s, 4'-OH), 7.40 (1H, dd, J =8.3, 2.3 Hz, H-6'), 7.38 (1H, d, J =2.2 Hz, H-2'), 6.88 (1H, d, J =8.3 Hz, H-5'), 6.66 (1H, s, H-3), 6.43 (1H, d, J =2.1 Hz, H-8), 6.18 (1H, d, J =2.0 Hz, H-6); ¹³C-NMR (100 MHz, CD₃OD) δ : 164.76 (C-2), 102.48 (C-3), 182.49 (C-4), 161.85 (C-5), 98.78 (C-6), 164.97 (C-7), 93.65 (C-8), 158.05 (C-9), 103.91 (C-10); 122.32 (C-1'), 112.78 (C-2'), 145.68 (C-3'), 149.64 (C-4'), 115.41 (C-5'), 118.92 (C-6')。以上数据与文献(李勇军等, 2005)一致, 故鉴定化合物 **15** 为木犀草素。

化合物 **16**: 白色结晶, $C_{17}H_{24}O_8$, ESI-MS m/z : 379.1 $[M+Na]^+$. 1H -NMR (400 MHz, DMSO) δ : 6.68 (2H, s, H-3, 5), 6.33 (1H, d, $J=16.3$ Hz, H-7), 6.24 (1H, m, H-8), 4.89 (1H, d, $J=7.3$ Hz, H-1'), 3.76 (6H, s, 2-OCH₃, 6-OCH₃), 1.83 (3H, d, $J=5.8$ Hz, H-9); ^{13}C -NMR (100 MHz, DMSO) δ : 134.07 (C-1), 153.16 (C-2, 6), 104.54 (C-3, 5), 133.62 (C-4), 131.21 (C-7), 125.34 (C-8), 18.61 (C-9), 56.81 (2-OCH₃, 6-OCH₃); 103.09 (C-1'), 74.64 (C-2'), 77.66 (C-3'), 70.40 (C-4'), 77.00 (C-5'), 61.37 (C-6'). 以上数据与文献(刘燕等, 2015)一致, 故鉴定化合物 **16** 为 Acantrifoside E.

化合物 **17**: 白色胶状, $C_{32}H_{50}O_{13}$, ESI-MS m/z : 665.3 $[M+Na]^+$. 1H -NMR (400 MHz, CD₃OD) δ : 6.47 (1H, s, H-14), 4.44 (1H, d, $J=7.9$ Hz, H-1'), 4.33 (1H, d, $J=7.8$ Hz, H-1''), 3.22 (1H, d, $J=7.9$ Hz, H-3), 1.20 (3H, s, H-20), 1.19 (3H, d, $J=6.8$ Hz, H-17), 1.17 (3H, d, $J=6.9$ Hz, H-16), 1.01 (3H, s, H-18), 0.86 (3H, s, H-19); ^{13}C -NMR (100 MHz, CD₃OD) δ : 34.59 (C-1), 26.53 (C-2), 88.10 (C-3), 39.41 (C-4), 52.72 (C-5), 18.87 (C-6), 33.12 (C-7), 133.52 (C-8), 132.28 (C-9), 38.87 (C-10), 147.54 (C-11), 141.10 (C-12), 139.48 (C-13), 116.46 (C-14), 25.24 (C-15), 22.51 (C-16), 22.80 (C-17), 27.84 (C-18), 16.92 (C-19), 19.55 (C-20); 106.62 (C-1'), 73.83 (C-2'), 76.86 (C-3'), 70.31 (C-4'), 76.74 (C-5'), 61.44 (C-6'); 103.96 (C-1''), 74.08 (C-2''), 79.07 (C-3''), 69.66 (C-4''), 76.65 (C-5''), 60.90 (C-6''). 以上数据与文献 (Hu et al., 2018) 一致, 故鉴定化合物 **17** 为 Trichotomside B.

化合物 **18**: 淡黄色粉末, $C_{30}H_{38}O_{15}$, ESI-MS m/z : 637 $[M-H]^-$. 1H -NMR (400 MHz, CD₃OD) δ : 7.59 (1H, d, $J=15.8$ Hz, H-7'), 7.07 (1H, s, H-2'), 6.95 (1H, d, $J=8.3$ Hz, H-6'), 6.80 (1H, d, $J=3.2$ Hz, H-5'), 6.78 (1H, d, $J=3.2$ Hz, H-2), 6.73 (1H, d, $J=1.8$ Hz, H-5), 6.66 (1H, d, $J=1.8$ Hz, H-6), 6.28 (1H, d, $J=15.9$ Hz, H-8'), 5.19 (1H, s, H-1'''), 4.37 (1H, d, $J=7.9$ Hz, H-1''), 3.80 (3H, s, 3-OCH₃), 2.80 (2H, t, $J=6.8$ Hz, H-7), 1.09 (3H, d, $J=6.2$ Hz, H-6'''); ^{13}C -NMR (100 MHz, CD₃OD) δ : 132.71 (C-1), 116.97 (C-2), 147.12 (C-3), 146.66 (C-4), 112.69 (C-5), 121.14 (C-6), 36.40 (C-7), 72.22 (C-8), 56.40 (3-OCH₃); 127.53 (C-1'), 115.18 (C-2'), 147.37 (C-3'), 149.63 (C-4'), 116.48 (C-5'), 123.23 (C-6'), 147.97 (C-7'), 114.57 (C-8'), 168.27 (C-9'); 104.02 (C-1''), 76.03 (C-2''), 81.63 (C-3''), 71.93 (C-4''), 75.80 (C-5''), 62.22 (C-6''), 102.93 (C-1'''), 70.43 (C-2'''), 72.02 (C-3'''), 73.67 (C-4'''), 70.32 (C-5'''), 18.42 (C-6'''). 以上数据与文献 (李友宾等, 2005) 一致, 故鉴定化合物 **18** 为肉苁蓉苷 C.

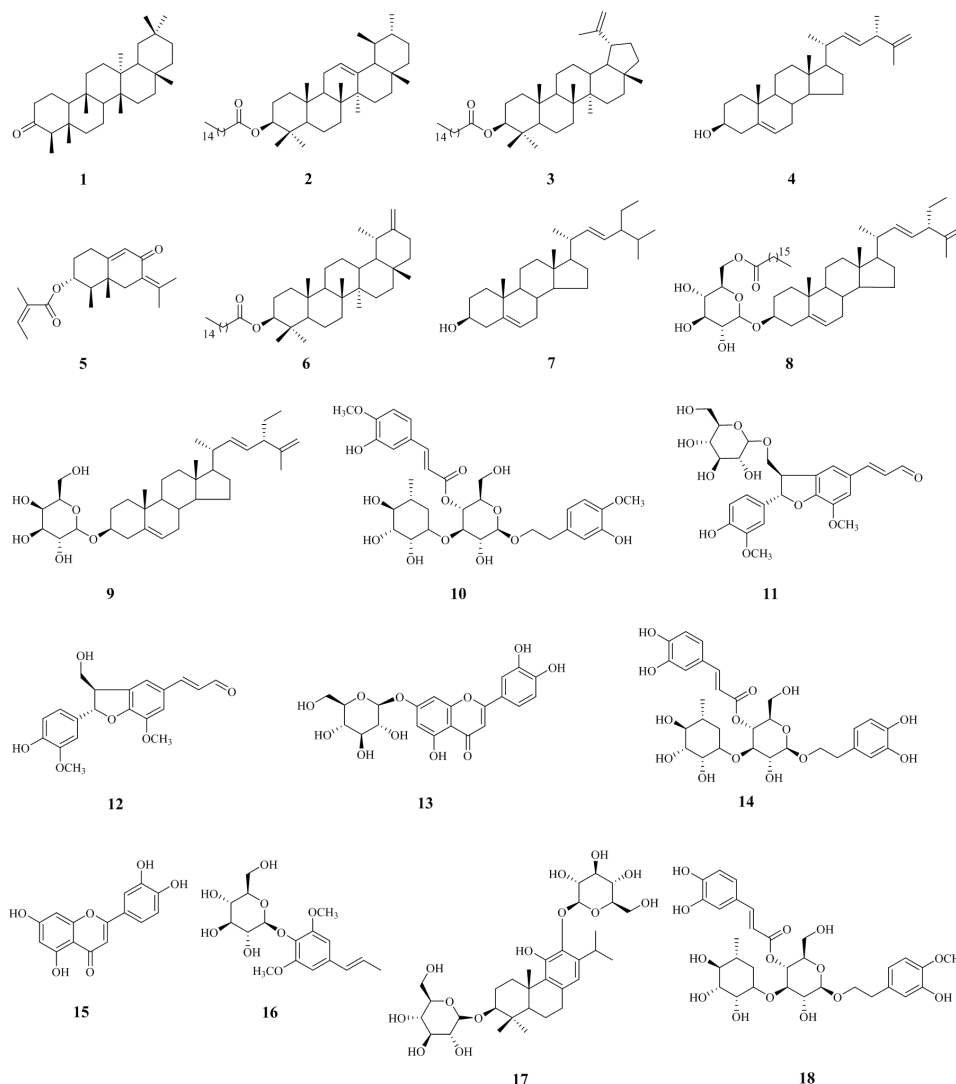


图 1 化合物 1-18 结构式
Fig. 1 Structures of compounds 1-18

2.2 抗菌活性结果

采用 MTT 法测试大青木粗提物对乳房链球菌、无乳链球菌的抗菌活性。结果表明，正丁醇部位 FrB3、FrC1、FrD2 组分对乳房链球菌有抗菌活性， IC_{50} 分别为 $7.02 \text{ mg} \cdot \text{mL}^{-1}$ 、 $0.89 \text{ mg} \cdot \text{mL}^{-1}$ 、 $6.79 \text{ mg} \cdot \text{mL}^{-1}$ ；FrB3、FrC1、FrC3、FrC4、FrD2 五份粗提物对无乳链球菌有抗菌活性， IC_{50} 分别为 $2.38 \text{ mg} \cdot \text{mL}^{-1}$ 、 $0.72 \text{ mg} \cdot \text{mL}^{-1}$ 、 $1.31 \text{ mg} \cdot \text{mL}^{-1}$ 、 $4.63 \text{ mg} \cdot \text{mL}^{-1}$ 、 $0.98 \text{ mg} \cdot \text{mL}^{-1}$ 。显示 FrC1 部位具有一定的抗菌活性。

采用同样的方法对经过粗筛活性较好的部位 FrC1 分离得到的 2 个单体化合物进行抗菌活性测试，测定结果为化合物 13 对乳房链球菌有一定的抑制活性，MIC 为 $0.18 \text{ mg} \cdot \text{mL}^{-1}$ ，对无乳链球菌无明显抑制活性；化合物 14 对乳房链球菌和无乳链球菌均无明显抑制活性。

3 讨论与结论

本研究对黔产大青木乙醇提取物中化学成分进行分离鉴定，从中共得到了 18 个化合物，分别为木栓酮 (1)、 α -amyrin palmitate (2)、Sambuculin A (3)、22-dehydroclerosterol (4)、Isopetasin (5)、Taraxasteryl palmitate (6)、豆甾醇 (7)、22-dehydroclerosterol-3-O- β -D-

(6'-O-margaroyl)-glucopyranoside (8)、3-O-β-D-galactopyranosyl-(24β)-ethylcholesta-5,22,25-trien (9)、肉苁蓉苷 D (10)、Tortoside F (11)、Balanophonin (12)、木犀草苷 (13)、类叶升麻苷 (14)、木犀草素 (15)、Acantrifoside E (16)、Trichotomside B (17)、肉苁蓉苷 C (18)。经查阅相关文献, 其中化合物 2-3, 5-6, 8-13, 16-18 为首次从大青木中分离得到。部分化合物的抗菌活性试验结果表明, 化合物 13 对乳房链球菌有一定的抑制活性。

木犀草苷 (13) 是木犀草素 (15) 7-OH 配糖化后的一种苷, 研究表明木犀草素 (15) 能通过破坏细菌细胞壁和细胞膜结构完整性, 抑制 DNA 拓扑异构酶活性, 来发挥抗菌效果 (王倩等, 2010), 木犀草苷 (13) 对乳房链球菌的抑制作用是否也通过上述机制来实现, 还有待于进一步深入研究。本次试验类叶升麻苷 (14) 未表现出抗菌活性, 但该化合物具有较强抗氧化活性 (杨建华等, 2009), 可以对抗因炎症反应而产生的过氧化物, 修复炎症组织。奶牛乳房炎是由多种因素引起的炎症反应, 主要是病原微生物的感染, 常见致病菌有无乳链球菌、乳房链球菌、金黄色葡萄球菌等 (张晓东等, 2021)。此外, 奶牛乳房组织新陈代谢旺盛, 体内自由基含量过高引起氧化应激, 亦可损伤奶牛乳房细胞进而诱发乳房炎 (郭咏梅等, 2021)。如果将具有抗奶牛乳房炎致病菌作用的木犀草苷 (13) 与对抗炎症反应的类叶升麻苷 (14) 联用, 会不会显著增强对奶牛乳房炎的防治效果, 后续还需进行探究。本研究丰富了大青木化学成分的物质基础, 初步探讨了其抗菌活性成分, 可为后续大青木抗奶牛乳房炎药物的研发提供一定参考, 拓展苗族医药在动物疾病防治方面的应用。

参考文献:

- AMARENDRA, PATRA, APURBA, et al., 1981. Carbon-13 resonance assignments of some friedelananes and taraxasteranes[J]. *Org Magn Reson*, 17(3): 166-168.
- BAI YX, ZHANG NN, JIANG CY, 2013. Research on *in vitro* antibacterial activity of extract with Chinese herb pairs[J]. *Resour Dev Mark*, 29(6): 572-573. [白云霄, 张妞妞, 江长优, 2013. 中药药对提取物体外抑菌活性研究[J]. *资源开发与市场*, 29(6): 572-573.]
- FATMA ES, HANAA K, DINA AH, et al., 2016. Phytochemical investigation of the bioactive extracts of the leaves of *Ficus cyathistipula* Warb[J]. *Z Naturforsch C*, 71(5-6): 141-154.
- GAO Y, PENG CY, CHEN XY, et al., 2017. Studies on the phenylethanoid glycosides from the fresh roots of *Rehmannia glutinosa*[J]. *Chin Med Mat*, 40(9): 2073-2076. [高映, 彭财英, 陈祥云, 等, 2017. 鲜地黄中苯乙醇类化合物分离与鉴定[J]. *中药材*, 40(9): 2073-2076.]
- GAO YP, ZHONG GY, SHEN YH, 2016. Chemical constituents from *incarvillea sinensis* var. *Przewalskii*[J]. *Chin Trad Herb Drugs*, 47(5): 712-716. [高燕萍, 钟国跃, 沈云亨, 2016. 黄花角蒿的化学成分研究[J]. *中草药*, 47(5): 712-716.]
- GUO YM, YAN SM, 2021. Regulation and mechanism of selenium on oxidative stress and inflammation in dairy cows[J]. *Chin J Anim Nutr*, 33(8): 4213-4220. [郭咏梅, 闫素梅, 2021. 硒对奶牛乳腺氧化应激及炎症反应的调控作用及其机制[J]. *动物营养学报*, 33(8): 4213-4220.]
- HOU K, TONG JJ, XIONG BH, et al., 2019. Application progress of plant extracts on prevention and treatment of mastitis in dairy cow[J]. *Chin J Anim Nutr*, 31(7): 3009-3015. [侯昆, 童津津, 熊北海, 等, 2019. 植物提取物防治奶牛乳房炎的应用进展[J]. *动物营养学报*, 31(7): 3009-3015.]
- HU HJ, ZHOU Y, HAN ZZ, et al., 2018. Abietane diterpenoids from the roots of *Clerodendrum trichotomum* and their nitric oxide inhibitory activities[J]. *J Nat Prod*, 81(7): 1508-1516.

- JIA RF, LIU HX, HUANG ML, et al., 2021. Chemical constituents from *Agastache rugosa*[J]. Chin Trad Herb Drugs, 52(10): 2884-2889. [贾瑞芳, 刘荷秀, 黄美玲, 等, 2021. 苏藿香化学成分研究[J]. 中草药, 52(10): 2884-2889.]
- KITAJIMA J, TANAKA Y, 1993. Constituents of *Prunus zippeliana* leaves and branches[J]. Chem Pharm Bull, 41(11): 2007-2009.
- LIN CN, TOME WP, 1988. Antihepatotoxic principles of *Sambucus formosana*[J]. Planta Med, 54(3): 223-224.
- LI JL, LI N, XING SS, et al., 2017. New neo-lignan from *Acanthopanax senticosus* with protein tyrosine phosphatase 1B inhibitory activity[J]. Arch Pharm Res, 40(11): 1265-1270.
- LIU DD, LUO J, XIANG WW, et al., 2021. Antimicrobial and anti-inflammatory effects of crude extract of *Nymphaea candida* on major pathogens in cow mastitis in *Vitro*[J]. Prog In Vet Med, 42(7): 17-21. [刘丹丹, 罗洁, 向薇薇, 等, 2021. 雪白睡莲花粗提物对奶牛乳房炎主要致病菌体外抑菌和抗炎作用[J]. 动物医学进展, 42(7): 17-21.]
- LIU Y, WANG ZY, HE WJ, et al., 2015. Chemical constituents from stems and leaves of *Micromelum integerrimum*[J]. Acta Pharm Sin, 50(4): 475-479. [刘燕, 王志尧, 贺文军, 等, 2015. 小芸木茎和叶中化学成分研究[J]. 药学学报, 50(4): 475-479.]
- LI YB, LI J, LI P, et al., 2005. Isolation and characterization of phenylethanoid glycosides from *Clerodendron bungei*[J]. Acta Pharm Sin, (8): 722-727. [李友宾, 李军, 李萍, 等, 2005. 臭牡丹苯乙醇苷类化合物的分离鉴定[J]. 药学学报, (8): 722-727.]
- LI YJ, HE X, LIU LN, et al., 2005. Studies on chemical constituents in herb of *Polygonum orientale*[J]. Chin J Chin Mat Med, (6): 444-446. [李勇军, 何迅, 刘丽娜, 等, 2005. 荭草化学成分的研究[J]. 中国中药杂志, (6): 444-446.]
- LU KM, WANG FR, 2006. Miao Medical Science[M]. Guiyang: Guizhou Science Press, 206-208. [陆科闵, 王福荣, 2006. 苗族医学[M]. 贵阳: 贵州科学出版社, 206-208.]
- MA LY, HU JY, LIN X, et al., 2019. Study on viable count of *Streptococcus agalactia* causing bovine mastitis by MTT method[J/OL]. Chin J Anim Infect Dis. [马林玉, 胡家银, 林焯, 等, 2019. MTT 法检测奶牛乳房炎无乳链球菌活菌数的研究[J/OL]. 中国动物传染病学报.http://kns.cnki.net/kcms/detail/31.2031.S.20190917.1045.011.html.]
- MENG YH, 2007. Study on chemical constituents of *Cirsium Setosum*(Wild.) MB.[D]. Haerbin: Heilongjiang University of Chinese Medicine. [孟永海, 2007. 小蓟的化学成分研究[D]. 哈尔滨: 黑龙江中医药大学.]
- PEI J, CHEN SL, 1982. Flora of China[M]. Beijing: Science Press, (65): 165. [裴鉴, 陈守良, 1982. 中国植物志[M]. 北京: 科学出版社, (65): 165.]
- SAEEDAN B, SUMAYYA S, CHOUDHAPY, et al., 1997. A steroidal glycoside from *Clerodendron inerme*[J]. Phytochemistry, 45(8): 1721-1722.
- TOSHIHIRO A, KAZUHIRO Y, TOSHITAKE T, et al., 1992. Triterpenoid ketones from *Lingnania chungii* MoClure: arborinone, friedelin and glutinone[J]. Chem Pharm Bull, 40(3): 789-791.
- WANG CF, LI JP, RU Y, et al., 2014. Petasins from the rhizomes of *Ligularia fischeri* and its derivatives[J]. Rec Nat Prod, 8(2): 156.
- WANG LF, YANG J, ZHONG HC, et al., 2020. Pathogenic microorganisms associated contamination in raw milk of dairy cows with mastitis and corresponding control measures [J]. Anim Husb Feed Sci, 41(5): 52-57. [王丽芳, 杨健, 钟华晨, 等, 2020. 乳房炎源生鲜乳中病原微生物的污染现状及防控措施[J]. 畜牧与饲料科学, 41(5): 52-57.]

- WANG Q, XIE MJ, 2010. Antibacterial activity and mechanism of luteolin on *Staphylococcus aureus*[J]. Acta Microbiol Sin, 50(9): 1180-1184. [王倩, 谢明杰. 2010. 木犀草素对金黄色葡萄球菌的抑菌活性及其机制[J]. 微生物学报, 50(9): 1180-1184.]
- XU RL, WANG R, DING L, et al., 2013. New cytotoxic steroids from the leaves of *Clerodendrum trichotomum*[J]. Steroids, 78(7): 711-716.
- XU HR, LIU PY, XING XG, et al., 2021. Progress on probiotics and their replacement of antibiotics in the treatment of dairy cow mastitis[J]. Chin Dairy Cattle, (10): 1-4. [徐鸿润, 刘沛尧, 邢小光, 等, 2021. 益生菌及其替代抗生素治疗奶牛乳腺炎研究进展[J]. 中国奶牛, (10): 1-4.]
- YANG JH, HU JP, RENA K, et al., 2009. Structure activity relationships of phenylethanoid glycosides in plants of cistanche salsa on antioxidative activity[J]. Chin Med Mat, 32(7): 1067-1069. [杨建华, 胡君萍, 热娜·卡斯木, 等, 2009. 肉苁蓉属植物中六种苯乙醇苷类化合物抗氧化活性的构效关系研究[J]. 中药材, 32(7): 1067-1069.]
- ZHANG XD, YANG WJ, MENG R, et al., 2021. Research progress on the effect of Chinese herbal feed additives on dairy cow mastitis[J]. Chin Feed, (9): 1-6. [张晓东, 杨文娇, 孟然, 等, 2021. 中草药饲料添加剂对奶牛乳房炎的影响研究进展[J]. 中国饲料, (9): 1-6.]
- ZHAO JB, LU XH, XU XD, et al., 2012. Chemical constituents of leaves of *Lindera aggregata* (Sims) Kosterm[J]. Chin Pharm J, 47(21): 1702-1705. [赵建波, 卢向红, 徐向东, 等, 2012. 乌药叶化学成分的研究[J]. 中国药学杂志, 47(21): 1702-1705.]
- ZHONG HC, ZHANG SF, FENG XH, et al., 2020. Study on the antibacterial effect of plant extracts on the pathogenic bacteria of dairy cow mastitis[J]. Heilongjiang Anim Sci Vet Med, (23): 117-121. [钟华晨, 张三粉, 冯小慧, 等, 2020. 植物提取物对奶牛乳房炎致病菌的抑菌效果研究[J]. 黑龙江畜牧兽医, (23): 117-121.]
- ZHOU ZQ, 2013. Studies on chemical constituents of *Callicarpa nudiflora*[D]. Nanchang: Nanchang University. [周志强, 2013. 裸花紫珠化学成分的研究[D]. 南昌: 南昌大学.]